

рентгеновского излучения с чувствительностью, близкой к предельно возможной для кремния, при инерционности  $\sim 10^{-7} \div 10^{-8}$  сек. Несмотря на то что кремний имеет сравнительно невысокий коэффициент поглощения для жесткого рентгеновского излучения, описанные датчики с инерционностью  $\sim 10^{-7}$  сек, по-видимому, обладают рядом достоинств по сравнению с другими приборами для регистрации импульсного рентгеновского излучения.

Поступило в Редакцию 2/VIII 1963 г.

## ЛИТЕРАТУРА

- С. М. Рывкин и др. «Физика твердого тела», 2, 2199 (1960).
- О. А. Матвеев, С. М. Рывкин, Д. В. Тархин. Материалы совещания по полупроводниковым детекторам ядерных излучений. Дубна, 1962, стр. 42.
- E. Pelli. J. Appl. Phys., 31, 291 (1960).

УДК 539.107.4

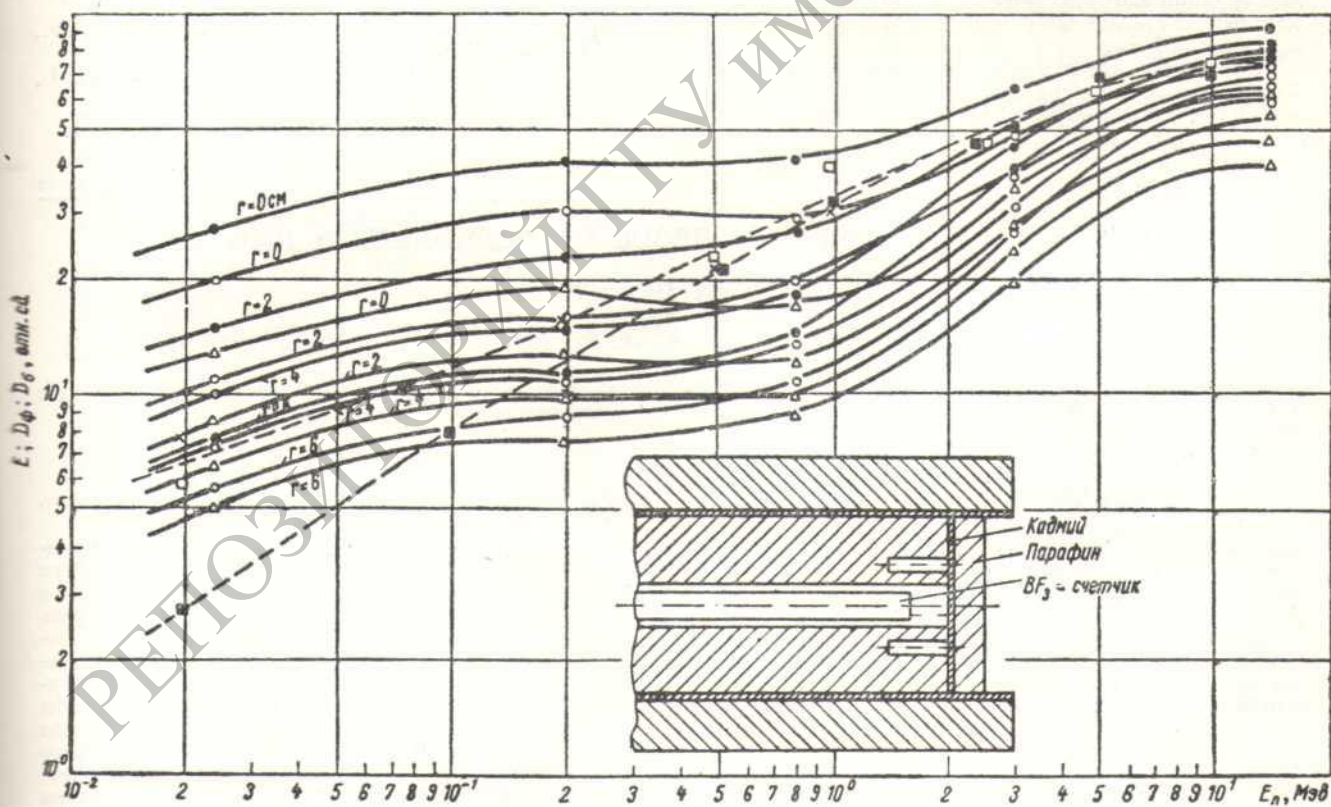
## Дозиметр нейтронов на основе «длинного» счетчика

Е. С. Фрид, Г. В. Мирошников, Н. И. Сложеники, В. В. Барыгов

Из рассмотрения принципа действия длинного счетчика следует, что при вдвигании  $\text{BF}_3$ -счетчика внутрь парафинового блока эффективность регистрации нейтронов должна уменьшаться. При этом чем меньше энергия нейтронов, тем больше должна быть величина спада.

Исследование зависимости эффективности длинного счетчика от энергии нейтронов  $\varepsilon(E_n)$  проводилось одновременно с авторами работы [1] на одинаковых же

источниках нейтронов. Было установлено, что при углублении  $\text{BF}_3$ -счетчика внутрь парафинового блока «длинного» счетчика можно добиться подобия эффективности  $\varepsilon(E_n)$  зависимостям физической и биологической доз от энергии нейтронов  $D_\Phi(E_n)$  и  $D_b(E_n)$  соответственно. Аналогичный результат получен при расчете по данным работ [2, 3]. Были поставлены специальные опыты с целью создать дозиметр на основе длинного счетчика. Измерения проводились с длинным счетчиком,



Зависимость  $\varepsilon(E_n)$  при углублении  $\text{BF}_3$ -счетчика внутрь парафинового блока и различных толщинах парафинового диска, а также  $D_\Phi(E_n)$  и  $D_b(E_n)$  от энергии нейтронов:

●, ○, △ — при  $x$ , равном 6; 9 и 12 см соответственно. Данные работы: □ —  $D_\Phi$  [5]; ■ —  $D_b$  [5]; × —  $D_\Phi$  [6].

**Зависимость отношения  $\varepsilon(E_n)/D_\Phi(E_n)$  от углубления  $\text{BF}_3$ -счетчика и увеличения толщины парафинового слоя**

Глубина $x, \text{ см}$	Толщина парафинового слоя $r, \text{ см}$	Энергия нейтронов, $\text{Мэв}$				
		0,024	0,2	0,8	3	14
6	0	2,3	1,7	1,0	0,87	0,76
	2	1,95	1,5	1,0	1,1	1,1
	4	1,3	1,0	0,7	0,97	1,1
	6	1,3	1,0	0,73	1,1	1,37
9	0	2,38	1,8	1,0	0,94	0,90
	2	1,9	1,4	1,0	1,1	1,2
	4	1,3	1,0	0,7	0,9	1,2
	6	1,3	1,0	0,7	1,0	1,4
12	0	2,6	1,96	1,0	1,1	1,2
	2	2,4	1,8	1,0	1,3	1,6
	4	1,3	1,0	0,6	0,8	0,95
	6	1,3	1,0	0,7	0,9	1,05

конструкция которого описана в работе [4], со стандартным  $\text{BF}_3$ -счетчиком типа СНМ-5 диаметром 33 и длиной 350 мм.

С помощью нейтронов с энергиями 0,024; 0,2; 0,8; 3 и 14 Мэв исследована зависимость  $\varepsilon(E_n)$  при вдвигании  $\text{BF}_3$ -счетчика внутрь парафинового блока на глу-

бину  $x$ , равную 6; 9 и 12 см, а также при перекрытии торца чувствительного объема парафинового блок дисками из парафина толщиной  $r$ , равной 2; 4 и 6 см. Между торцом блока и парафиновым диском помещался кадмийовый поглотитель в виде диска толщиной 1 мм.

Результаты измерений приведены на рисунке. Для сравнения на этом же рисунке нанесены точки для зависимостей  $D_\Phi(E_n)$  и  $D_b(E_n)$  по данным работ [5, 6]. В таблице дано отношение  $\varepsilon(E_n)/D_\Phi(E_n)$ , из которого видно подобие этих зависимостей.

Из приведенных результатов следует, что при  $x$  равном 6; 9 и 12 см, и при толщинах слоя парафина перед чувствительным объемом 0 и 2 см в интервале энергий 0,8–14 Мэв наблюдается довольно хорошо подобие зависимостей  $\varepsilon(E_n)$  и  $D_\Phi(E_n)$ . Для интервалов энергий 0,024–14 Мэв удовлетворительное подобие не наблюдается при  $x$ , равном 6; 9 и 12 см, и толщинах диска 4 и 6 см.

В заключение авторы пользуются случаем поблагодарить П. А. Ямпольского и А. А. Воеводского за внимание к работе и обсуждение результатов.

Поступило в Редакцию 25/V 1963 г.

#### ЛИТЕРАТУРА

- П. И. Вацет, Г. С. Тонапетян, Г. А. Даррофеев. «Атомная энергия», 7, 320 (1959).
- А. М. Коган и др. Там же, стр. 386.
- А. М. Коган и др. Там же, стр. 385.
- A. Hanson, J. Mc Kibbin. Phys. Rev. 72, 673 (1947).
- W. Snyder, J. Neufeld. Brit. J. Radiol. 28, 342 (1955).
- А. М. Коган и др. См. [1], стр. 351.

УДК 539.108:530.9

## Определение влажности песка по ослаблению потока быстрых нейтронов

В. Д. Воловик, Г. П. Стрелков, А. С. Черкасов, Г. Н. Чурсин

Проблемам использования ядерных излучений в строительной промышленности посвящено большое число работ [1–4].

В результате успехов, достигнутых за последние годы в области высокоеффективного детектирования ( $\sim 10\%$ ) быстрых нейтронов [5–8], оказалось возможным измерять влажность строительных материалов быстро и таким простым методом, как измерение ослабления «свободного» потока быстрых нейтронов в зависимости от содержания воды, т. е. водорода.

Если  $n_0$  — скорость счета детектора нейтронов за сухим образцом толщиной  $l$  (см), то функция ослабления скорости счета в зависимости от процентного содержания воды в образце  $m$  (процент влажности) при постоянной интенсивности источника нейтронов имеет вид

$$n(m) = n_0 \exp \left( -\frac{m}{100} \cdot \frac{N_0 \sigma_B}{A_B} Q l \right). \quad (1)$$

Здесь  $N_0 = 6,024 \cdot 10^{23}$  — число Авогадро,  $\text{e} \cdot \text{моль}^{-1}$ ;  $\sigma_B$  — сечение взаимодействия нейтронов на молекулу

воды,  $\text{см}^2$ ;  $A_B$  — молекулярный вес воды, равный 18;  $Q$  — плотность сухого образца,  $\text{г}/\text{см}^3$ ;

$$m = \frac{P_{\text{н+в}} - P_{\text{н}}}{P_{\text{н}}} \cdot 100\%,$$

где  $P_{\text{н+в}}$  — масса влажного образца;  $P_{\text{н}}$  — масса сухого образца.

Выражение (1), разумеется, справедливо для моноэнергетического потока нейтронов и хорошей геометрии опыта (узкий пучок). На практике для наилучшего «разрешения» процента влажности следует выбирать толщины исследуемых образцов такими, чтобы, во-первых, быстро набирать нужную статистику при определении скорости счета детектора для заданной интенсивности источника нейтронов и, во-вторых, чтобы показатель степени экспоненты в выражении (1) был заметно меньше единицы. При выполнении последнего условия эффекты накопления нейтронов в водородсодержащей среде не будут сказываться, и ослабление потока быстрых нейтронов будет хорошо согласовываться с выражением (1).

Легко показать, например, что для образца песка ( $Q = 1,81 \text{ г}/\text{см}^3$ ) с  $l = 14 \text{ см}$  и источника нейтронов с энер-